



سنجش از دور

GIS ایران



سنجش از دور و GIS ایران سال سیزدهم، شماره سوم، پاییز ۱۴۰۰
Vol.13, No. 3, Autumn 2021 Iranian Remote Sensing & GIS

۱-۱۸

مقاله پژوهشی

ارزیابی قابلیت داده‌های MSI سنتیتل-۲ و OLI لندست ۸ در تفکیک واحدهای سنگی و کانی‌های دگرسان منطقه کانسار فسفات اسفوردی، ایران مرکزی

سوگند کریم‌زاده^{۱*} و مجید هاشمی تنگستانی^۲

۱. دانشجوی دکتری زمین‌شناسی اقتصادی، دانشگاه شیراز

۲. استاد بخش علوم زمین، دانشکده علوم، دانشگاه شیراز

تاریخ دریافت مقاله: ۱۳۹۹/۰۷/۲۸

تاریخ پذیرش مقاله: ۱۴۰۰/۰۲/۰۳

چکیده

سنجندهای دوقلوی MSI سنتیتل-۲، از لحاظ توان تفکیک مکانی، شباهت بسیاری به سنجنده OLI لندست ۸ دارند که آن‌سی فضایی اروپا، با هدف افزایش داده‌های ادامه‌دار برای پایش سطح زمین، آنها را به فضا پرتاب کرد. در این مطالعه، قابلیت این داده‌ها در تفکیک واحدهای سنگی و دگرسانی، در محدوده کانسار فسفات اسفوردی، ارزیابی و با داده‌های لندست ۸ و لندست ۸ تلفیق شده، مقایسه شد. برای بارزکردن واحدهای سنگی منطقه، از روش بسط عدم همبستگی استفاده شد. به‌منظور مقایسه‌های آماری، واحدهای سنگی با استفاده از اجرای روش ماشین بردار پشتیبان و جنگل تصادفی روی دسته داده‌ها، ردبندی و صحت آنها با استفاده از ماتریس آشفتگی بررسی شد. علاوه‌بر آن، نسبت‌های باندی متناظر با آنچه درمورد سنجنده لندست ۵ TM تعریف شده است، برای آشکارسازی نواحی دگرسان شده در منطقه، روی هر سه دسته داده اجرا و مساحت پهنه‌های بارزشده محاسبه و مقایسه شد. همچنین، نمودارهای پراکندگی برای تصاویر نسبت باندی تولید شده تهیه شد. داده‌های MSI، در ردبندی ماشین بردار پشتیبان و جنگل تصادفی، صحت کلی و ضربی کاپای بیشتری را در مقایسه با دو دسته داده دیگر نشان دادند. نتایج نسبت باندی نیز نشان داد که داده‌های OLI و MSI و OLI تلفیق شده بیشترین همبستگی و مشابهت را به هم دارند. این مطالعه مشخص کرد که استفاده از داده‌های MSI در تهیه نقشه‌های سنگ‌شناختی و کانی‌شناختی، مطلوب‌تر از داده‌های OLI است. همچنین استفاده از داده‌های OLI تلفیق شده، در تاریخ‌هایی که تصاویر MSI در دسترس نیست، و یا برای تهیه نقشه‌های زمین‌شناسی پیوسته در مقیاس‌های قاره‌ای، به همراه داده‌های MSI کارآمد است.

کلیدواژه‌ها: داده‌های MSI و OLI، کانسار اسفوردی، بسط عدم همبستگی، الگوریتم یادگیری ماشین، نسبت باندی.

* نویسنده مکاتبه‌کننده: شیراز، چهارراه ادبیات، دانشکده علوم، بخش علوم زمین.

Email: karimzadeh-shu@shirazu.ac.ir; Karimzadeh208@gmail.com

۱- مقدمه

صالحی^۵ و همکاران (۲۰۱۹) نیز، در مطالعه‌ای موردنی در شمال شرق گرینلند، داده‌های استر و سنتینل-۲ را به منظور تهیه نقشه زمین‌شناسی مقایسه کردند و به این نتیجه رسیدند که داده‌های استر، به دلیل داشتن تعداد باند بیشتر در محدوده SWIR، در تفکیک واحدهای سنگ‌شناسی موفق‌تر است؛ با این حال سنتینل-۲ کانی‌های آهن دار را بهتر باز می‌کند زیرا چندین باند در محدوده ۹۰۰ nm دارد که متناظر با سیمای جذبی آهن است. فندِ وقف^۶ و فندِ میمه^۷ (۲۰۱۶) داده‌های سنتینل-۲ را با داده‌های لندست،^۸ در تهیه نقشه زمین‌شناسی، مقایسه کردند. فروزان و ارفع‌نیا^۹ (۲۰۱۸) از تلفیق باندهای سنجدندهای استر، تصویربردار عملیاتی زمین (OLI)^{۱۰} و MSI^{۱۱} برای آشکارسازی دگرسانی‌های گرمایی در جنوب‌غرب اردنستان استفاده کردند. شی^۹ و همکاران (۲۰۱۸a و b)، با استفاده از داده‌های سنتینل-۲، واحدهای سنگی کمپلکس افیولیتی شیبیانجینگ در چین را ردبندی کردند. آنها همچنین نتایج ردبندی واحدهای سنگی منطقه مورد مطالعه را با داده‌های سنجدنده استر و مقایسه کردند و به صحت ردبندی ۷۴/۵٪ در مورد داده‌های سنتینل-۲ رسیدند. این مقدار، به ترتیب، ۲/۵٪ و ۵/۰٪ بیشتر از صحت ردبندی با استر و OLI بود.

فندِ وقف و فندِ میمه (۲۰۱۵) کاربرد داده‌های MSI سنتینل-۲ را، در نقشه‌برداری سیماهای جذبی آهن، بررسی کردند. در این مطالعه، تکییکی برای ارائه مدل شکل سیمای جذبی آهن در کانی‌های گوناگون شامل

داده‌های ابزار چندطیفی^۱ ماهواره سنتینل-۲ را آژانس فضایی اروپا^۳ با هدف افزایش داده‌های پایش جهانی سطح زمین در ادامه مأموریت ماهواره‌های لندست و اسپات، برای کاربران تهیه کرده است (ESA, 2013). این داده‌ها دارای سیزده باند در محدوده VNIR-SWIR است و از لحاظ توان تفکیک مکانی، مشابه سنجنده‌های سوپرطیفی لندست (۱۰-۶۰ m) است. پس از عملیاتی شدن ماهواره‌های دوقلوی سنتینل-۲ سری A در سال ۲۰۱۵ و سنتینل-۲ سری B در ۲۰۱۷، در حال حاضر هر پنج روز پوشش کاملی از مشاهده زمین، با زاویه دید یکسان و میدان دید ۲۹۰ کیلومتر، انجام می‌شود. توان تفکیک مکانی، طیفی و زمانی بالای این ماهواره، از یکسو، و دسترسی رایگان به داده‌های آن، از سوی دیگر، قابلیت آن را در مطالعات سنجش از دور بسیار مهم جلوه می‌دهد. این سنجنده در زمینه پایش جنگل‌ها، کشاورزی، شهرسازی، ردبندی کاربری و پوشش اراضی، کیفیت آب، زمین‌شناسی، پایش تغییرات و مدیریت بحران کاربرد دارد و رضایت کاربران را به همراه داشته است (برای نمونه، de Kok et al., 2017; Karaoui et al., 2019; Iurist et al., 2016; Lefebvre et al., 2016). در زمینه کاربرد این داده‌ها در مطالعات زمین‌شناسی می‌توان به تهیه نقشه‌های زمین‌شناسی متosteمپیکاس، که در پروژه‌های اکتشافی کاربرد دارند، اشاره کرد. در ادامه، این سری از مطالعات انجام شده را مرور می‌کنیم.

فندِ میمه^۹ و همکاران (۲۰۱۴) پتانسیل داده‌های سنجنده چندطیفی سنتینل-۲ را، در کاربری‌های زمین‌شناسی، بررسی کردند. در این مطالعه، داده‌های سنتینل-۲ شبیه‌سازی شده با داده‌های استر شبیه‌سازی شده و استر در توانایی نمایش نتایج نسبت باندی‌های پیشنهادی مقایسه شد و نتیجه نشان داد که سنتینل-۲ می‌تواند جای خالی داده‌های استر را پر کند.

-
1. Multi Spectral Instrument (MSI)
 2. Sentinel-2
 3. European Space Agency (ESA)
 4. van der Meer
 5. Salehi
 6. van der Werf
 7. Forouzan and Arfania
 8. Operational Land Imager
 9. Ge

تلفیق شده^۳ در محدوده کانسار اسفوردی (شکل ۱) بررسی و بدین‌منظور، روش‌های بسط عدم همبستگی، رده‌بندی‌های ماشین بردار پشتیبان و جنگل تصادفی و نسبت باندی به کار می‌رود. منظور از OLI تلفیق شده، در این مقاله، داده‌های OLI است که با استفاده از داده‌های MSI، تغییر مقیاس داده‌اند.

وانگ^۴ و همکاران (۲۰۱۷) پیشنهاد کردند، با تلفیق داده‌های لندست ۸ و سنتینل-۲، مشاهدات بیشتری برای نظارت‌های ادامه‌دار تولید می‌شود و داده‌های لندست ۸ سی‌متري می‌توانند، به توان تفکیک مکانی ده متر، تغییر مقیاس دهند که این محصول توانایی بالقوه‌ای در نظارت‌های زمانی بر تغییرات سریع سطح زمین دارد.

هر ماه، سنتینل-۲ می‌تواند شش مشاهده از هر نقطه زمین داشته باشد که، به‌انضمام دو مشاهده ماهیانه لندست ۸، تعداد مشاهدات هرماهه از هر نقطه زمین در مسیر عبور ماهواره‌ها به هشت مرتبه می‌رسد. با کاهش مقیاس لندست به ده متر، به توان تفکیک مکانی بالاتری می‌رسیم که سیماهای بیشتری از سطح زمین را بسیار واضح‌تر نشان می‌دهد. سنتینل-۲ در ساعت محلی^۵ ۱۰:۳۰ صبح از سطح زمین تصویربرداری می‌کند تا، به‌طور معمول، اطمینان از نور مناسب خورشید و حداقل پوشش ابر حاصل شده باشد. نزدیک‌بودن این زمان به زمان محلی لندست و تطابق آن با زمان محلی اسپات این امکان را فراهم می‌کند که، با استفاده از این داده‌ها و داده‌های مربوط به تاریخ‌های گذشته، سری‌های زمانی طولانی مدت از تغییرات سطح زمین فراهم شود.

برخلاف تصور عموم، فقط پایش تغییرات محیطی نیازمند داده‌های فراوان و داده‌های با توان تفکیک زمانی بالا نیست بلکه سنجش از دور زمین‌شناختی نیز

برونزیت، گوتیت، ژاروسیت، هماتیت و بریل معرفی شد. این تکنیک امکان نگاشت محل دقیق طول موج در بیشینه جذب و عمق دقیق سیماهی جذبی را فراهم می‌آورد. این در حالی است که تا پیش از آن، این کار فقط با داده‌های ابرطیفی ممکن بود، اما اکنون با استفاده از داده‌های سنتینل-۲، کانی‌های آهن‌دار با توان تفکیک مکانی بالاتر و زمان بازنگری بالاتر آشکار می‌شوند. بهرامی^۶ و همکاران (۲۰۱۸) قابلیت داده‌های ماهواره‌ای استر، لندست ۸ و سنتینل-۲ را در نقشه‌برداری زون‌های حاوی کانی‌های دگرسانی گرمابی و اکسیدهای آهن در منطقه ابهر، شمال‌غرب ایران، ارزیابی کردند. آنها نتیجه گرفتند که عملکرد تمامی انواع داده‌ها در آشکارسازی اکسیدهای آهن تقریباً مشابه بود اما نتایج داده‌های سنتینل-۲ بهتر از دو نوع داده دیگر بود. نتایج رده‌بندی نشان داد که داده‌های استر، در آشکارسازی زون‌های حاوی کانی‌های دگرسان‌شده گرمابی، موفق‌تر بوده است. فال^۷ و همکاران (۲۰۱۹)، با استفاده از داده‌های سنتینل-۲، واحدهای سنگی حوضه تفیلات در مراکش را رده‌بندی کردند و با توجه به صحت رده‌بندی ۷۶٪، نتیجه گرفتند که داده‌های سنتینل-۲، ضمن داشتن توان تفکیک طیفی بالا در محدوده VNIR و باندهای SWIR، توانایی افزون‌تری نیز، به‌دلیل توان تفکیک مکانی بالا، دارد که برای نقشه‌برداری واحدهای سنگی مطلوب است. صالحی و هاشمی تنگستانی (۱۳۹۷) داده‌های MSI سنتینل-۲ را، در بازسازی زون‌های دگرسان‌شده پیرامون کانسارهای مس پورفیری شمال شرق اصفهان، به‌روش MTMF ارزیابی کردند. هاشمی تنگستانی و شایگان‌پور (۱۳۹۸) از داده‌های MSI سنتینل-۲ در نقشه‌برداری واحدهای سنگی کمپلکس سوریان، شرق استان فارس، به‌روش PCA و نسبت باندی و SID بهره برندند.

در این پژوهش، قابلیت داده‌های MSI سنتینل-۲ در تفکیک واحدهای سنگی و بازرسکدن کانی‌های دگرسانی حاوی هیدروکسیل، اکسیدهای آهن و اکسید آهن فروس در مقایسه با داده‌های OLI و OLI

-
1. Bahrami
 2. Fal
 3. Fused OLI
 4. Wang

جاده خاکی ۲.۵ کیلومتری، منشعب از جاده اصلی بافق- بهاباد، به مجتمع فسفات اسفوردی متصل می‌شود (شکل ۱). واحدهای سنگی در کانسار اسفوردی به قسمتی از سری ریزو به سن پر کامبرین بالایی تا کامبرین تعلق دارند. سری ریزو دارای یک رخساره آتشفسانی- رسوبی درهم و بهم خورد، متشکل از ماسه‌سنگ و شیل‌های سبز و بنفش و دولومیت‌های خاکستری تا قهوه‌ای چرت‌دار، توف‌های برشی، روپولیت‌های خاکستری و بالاخره افق‌های آهن. آپاتیت و دایک‌های دیابازی است که با گسل‌های نرمال، با روند شمالی- جنوبی و شمال‌شرق- جنوب‌غرب، قطع شده است. کانی‌زایی آهن و آپاتیت اغلب از روندهای گسلی پیروی می‌کند (Jami et al., 2007).

۳- مواد و روش‌ها

۱-۳-دادهای پیش‌پردازش

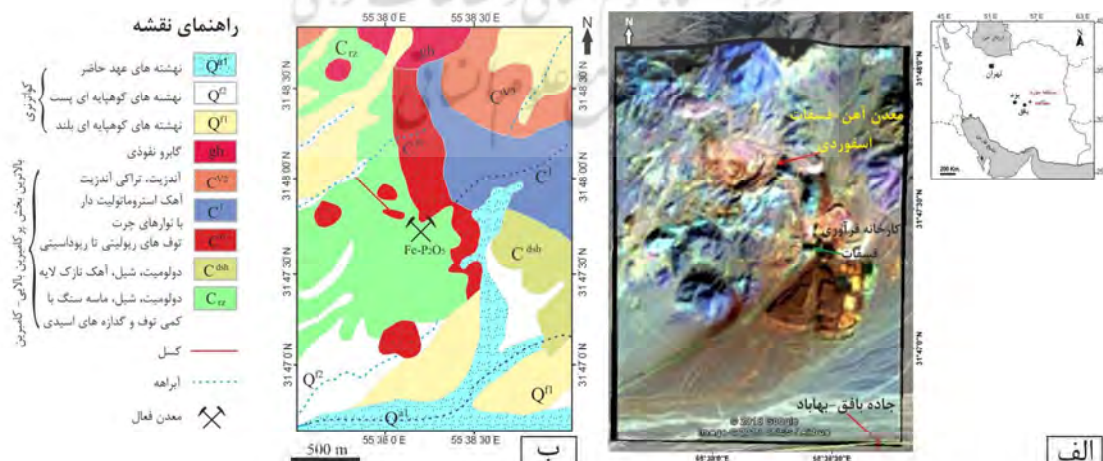
در این مطالعه، از مجموعه داده‌های OLI لندست ۸ L1T در تاریخ اکتبر ۲۰۱۷، و تصاویر MSI سنتینل-۲ L1C A در دسامبر ۲۰۱۹، استفاده شد. با توجه به فصل و موقعیت مکانی منطقه، وضعیت آب‌وهای منطقه در هر دو تاریخ تقریباً مشابه و تصاویر بدون ایر بوده است.

از داده‌های فراوان بهره می‌برد. برای نمونه، می‌توان به مشاهده فعالیت‌های آتش‌نشان‌ها، تکتونیک و سامانه‌های زمین‌گرمایی اشاره کرد. نمونه دیگر آن نیز مشاهده تغییر پوشش سطح زمین به‌دلیل نشست، فرسایش و مخاطرات طبیعی است. همچنین، با استفاده از داده‌های سنتیبل-۲ و B و لندست، می‌توان نقشه‌های کانی‌شناسی متوسط‌مقیاس یکپارچه را برای مساحت‌های بزرگ ایجاد کرد؛ مانند آنچه در سال ۲۰۱۶ برای قاره استرالیا تهیه شد. آینده سنجش از دور زمین‌شناسختی به‌سوی تولید چنین نقشه‌هایی در مقیاس قاره‌ای پیش می‌رود که به داده‌های ادامه‌دار زمانی و مکانی نیاز دارد.

در این مطالعه، داده‌های لندست ۸ تلفیق شده به کار رفته است تا ظرفیت این نوع داده در مطالعات زمین‌شناسی شناخته شود و شرایط آماری نسبتاً برابر در تعداد باند و اندازه پیکسل پیدید آید که بتوان داده‌های لندست ۸ را با سنتیل-۲ مقایسه کرد.

۲- زمین‌شناسی منطقه مورد مطالعه

کانسار آپاتیت- آهن اسفوردی در ۳۵ کیلومتری شمال شرق بافق و ۱۴۰ کیلومتری شرق یزد، در مسیر معدن چغارت- کوشک، واقع شده است که پا پک



شکل ۱. موقعیت مکانی منطقه کانسار اسفوردی در گوگل ارث، همراه با لایه تصویر ترکیب رنگی (RGB: ۲, ۳, ۱۱) داده‌های MSI (الف); نقشه زمین‌شناسی، منطقه مورد مطالعه، پرگفتۀ از پرگۀ ۱۰۰,۰۰۰:۱ اسفوردی (سازمان زمین‌شناسی، کشور) (ب).

داده‌های OLI، پس از تلفیق، از لحاظ هندسی تغییری نداشتند و بدنظر می‌رسید تصحیح هندسی اولیه داده‌ها صحت لازم را داشته است و به تصحیح هندسی OLI دوباره نیاز ندارد اما تعداد پیکسل داده‌های تلفیق شده، یک ردیف در جهت محور X و یک ستون در جهت محور Y، بیشتر شده بود که منطقه مورد مطالعه بار دیگر، مطابق با سایز داده‌های MSI، از آن جدا شد.

۲-۳- بارزسازی تصویر^۱

برای نمایش بهتر واحدهای سنگی، از روش بسط عدم همبستگی^۲ استفاده شد که همبستگی‌های بالای درون‌باندی پیکسل‌های ورودی را حذف می‌کند و آنها را با رنگ‌های متفاوت، که نمایانگر واحدهای سنگی متفاوت است، تفکیک می‌کند (Wahi et al., 2013). این روش، بسیار قدرتمندتر از روش ترکیب رنگی دروغین، می‌تواند واحدهای سنگی گوناگون را بازز کند. این روش، به سه باند ورودی نیاز دارد تا یک تصویر ترکیبی از رنگ‌های بیشتر، در مقایسه با تصویر ترکیب رنگی، و با همبستگی کمتر تولید کند. این روش روی هر سه دسته داده‌ها اجرا شد (شکل ۲) و تصاویر حاصل از داده‌ها به صورت چشمی با یکدیگر مقایسه و تفسیر شدند. همچنین، نقشه سنگ‌شناختی تولید شده با استفاده از داده‌های MSI با نقشه زمین‌شناسی منطقه مقایسه شد.

به‌منظور ایجاد شرایط برابر در مقایسه هر دو دسته داده، فقط باندهای ۲-۷ سنجنده OLI و باندهای متناظر آن از سنجنده MSI، شامل باندهای ۴، ۸، ۱۱ و ۱۲، انتخاب شد (جدول ۱). با استفاده از نرمافزار ENVI، تصحیح جوی به روش QUAC روی هریک از این مجموعه داده‌ها اجرا شد و مقادیر هر پیکسل به بازتاب در سطح زمین تبدیل شدند. همه باندهای داده‌های MSI به ۱۰ m بازنویسی و منطقه مورد مطالعه از کل صحنه جدا شد (۱۸۵*۲۶۰ پیکسل). داده‌های OLI نیز، با استفاده از باند PAN، به ۱۵ m بازنویسی شد و منطقه مورد مطالعه، برابر با داده‌های MSI، از کل صحنه جدا شد (۱۲۴*۱۷۴ پیکسل).

همچنین، برای آنکه بتوان داده‌ها را از لحاظ آماری دقیق‌تر با هم مقایسه کرد، اندازه پیکسل‌های پانزده‌متری تصاویر لندست یک بار دیگر، با استفاده از باند PAN سنتینل-۲ (میانگین باندهای ۲، ۳ و ۴)، به ۵ متر کاهش یافت و همراه با دو دسته داده لندست پانزده‌متری و سنتینل ۵متری، ارزیابی شد. تغییر مقیاس لندست سی‌متری، ابتدا با استفاده از PAN پانزده‌متری لندست ۸ و سپس PAN ۵متری سنتینل-۲، از مقدار خطای تغییر در اعداد روشنایی پیکسل‌ها، تغییرات هندسی، پوشش و کاربری اراضی می‌کاهد (Wang et al., 2017).

جدول ۱. طول موج باندهای استفاده شده از داده‌های سنتینل-۲ و لندست ۸

لندست ۸			سنتینل-۲		
شماره باند	طول موج (nm)	توان تفکیک مکانی (m)	شماره باند	طول موج (nm)	توان تفکیک مکانی (m)
۳۰	۴۵۰-۵۱۵	۲	۱۰	۴۵۸-۵۲۳	۲
۳۰	۵۲۵-۶۰۰	۳	۱۰	۵۴۳-۵۷۸	۳
۳۰	۶۳۰-۶۸۰	۴	۱۰	۶۵۰-۶۸۰	۴
۳۰	۸۴۵-۸۸۵	۵	۱۰	۷۸۵-۹۰۰	۸
۳۰	۱۵۶۰-۱۶۶۰	۶	۲۰	۱۵۶۵-۱۶۵۵	۱۱
۳۰	۲۱۰۰-۲۳۰۰	۷	۲۰	۲۱۰۰-۲۲۸۰	۱۲

1. Image Enhancement
2. Decorrelation Stretch

بیشترین رأی درختان جنگل اختصاص می‌دهد (Breiman, 2001; Lowe and Kulkarni, 2015) مطالعه، از هزار درخت تصمیم استفاده شد (شکل ۵).

۴-۳- نسبت باندی

نسبت باندی بهمنزله بازركننده گروههای کانیابی یا یک گروه مجزای کانی عمل می‌کند. در این مطالعه، برای مقایسه این سه دسته داده، از نسبت‌های باندی متناظر با پیشنهاد سابینز^۵ (۱۹۹۹) درمورد لندست TM ۵ استفاده شده است (جدول ۲) و به باندی‌های ۲ (آبی)، ۴ (قرمز)، ۶ (SWIR1) و ۷ (SWIR2) از داده‌های OLI و باندی‌های MSI نیاز است.

باندی‌های ۵ داده‌های OLI و باندی‌های ۸ داده‌های MSI نیز برای محاسبه NDVI استفاده شد که شاخص پوشش گیاهی، با توجه به مقدار انداختن، نادیده گرفته شد. مشاهدات صحرایی نیز نشان داد که حدود ۱۰ تا ۱۵٪ سطح زمین را خار و بوته‌زارهای خشک پوشانده است. با محاسبه NDVI برای هر مجموعه، حاصل این شاخص حدوداً بین ۰.۲-۰.۲ قرار گرفت.

سه نسبت باندی، که در جدول ۲ ذکر شده است، برای آشکار کردن کانی‌های دگرسانی منطقه اسفورده به کار رفت. نسبت باندی متناظر با ۵/۷ TM برای آشکار کردن دگرسانی‌های هیدروکسیل‌دار، نسبت باندی متناظر با ۳/۱ TM برای بازکردن همه انواع اکسیدهای آهن و نسبت باندی متناظر با ۳/۵ TM برای آشکار سازی اکسیدهای آهن فروس، روی هر سه دسته داده اجرا شد. مساحت پیکسل‌های بازرسیده از طریق هریک از نسبت‌های باندی با استفاده از نرم‌افزار Arc GIS محاسبه شد. سپس، با بهکارگیری نمودار پراکنده‌گی که در محیط IDL برای کل صحنه تصویر به دست آمد، همبستگی باندی‌های متناظر نسبت‌های باندی از داده‌های OLI، OLI، MSI تلفیق شده و MSI بررسی و تفسیر شد.

1. Stratified Random Sampling
2. Support Vector Machine
3. Random Forest
4. Radial Basis Function
6. Sabins

۳-۳- ردیابی

ضمن درنظرداشتن واحدهای سنگی بازرسیده با روش بسط عدم همبستگی، نقشه زمین‌شناسی ۱:۱۰۰,۰۰۰ منطقه و بازدید صحرایی (شکل ۳ و ۴)، نواحی آموزشی مناسب از نوع پلی‌گون، برای ردیابی واحدهای سنگی منطقه در هشت کلاس، به صورت نمونه‌برداری چینهای تصادفی^۱، در دسته داده MSI انتخاب شد و به صورت تصادفی، ۲۵٪ از نواحی آموزشی به نواحی آزمون اختصاص یافت. سپس روش‌های ردیابی ماشین بردار پشتیبانی (SVM)^۲ و جنگل تصادفی (RF)^۳ روی دسته داده‌ها اجرا و صحت ردیابی‌ها، با استفاده از ماتریس آشفتگی و ضریب کاپا، محاسبه و مقایسه شد.

روش‌های ردیابی SVM و RF از الگوریتم‌های نظارت‌شده یادگیری ماشین هستند که اغلب نتایج بسیار خوبی در دسته‌بندی داده‌های ماهواره‌ای به دست Ge et al., 2018; Kadavi & Lee, 2018; Ge et al., 2020 (Talukdar et al., 2020). الگوریتم SVM با آبرصفحه‌ای جداکننده، که روی داده‌های آموزشی تعریف می‌شود، دو کلاس خاص را از هم تفکیک و جدا می‌کند (De Boissieu et al., 2018; Vapnik, 1995) الگوریتم، با استفاده از توابع کرنل، بر مشکل توزیع غیرخطی داده‌های آموزشی غلبه می‌کند؛ به این صورت که داده‌ها به فضایی با بعد بیشتر انتقال می‌یابند که، در آن فضای تفکیک پذیری بهتر صورت می‌گیرد و آبرصفحه جداکننده تعیین می‌شود (Vapnik, 1995; Yang, 2011). در این پژوهش، از کرنل تابع پایه شعاعی (RBF) استفاده شد (شکل ۵).

RF درخت تصمیم‌های بسیاری را تولید می‌کند. این الگوریتم، برای ردیابی پیکسل یا پدیده ردیابی نشده، ورودی مورد نظر را در انتهای هریک از درختان تصمیم قرار می‌دهد؛ به گونه‌ای که تعلق پیکسل به یکی از کلاس‌ها (n کلاس) میان درختان تصمیم به رأی گذاشته می‌شود و هر درخت تصمیم رأی خود را، درمورد گنجاندن پیکسل در یک کلاس، اعلام می‌کند. الگوریتم پیکسل به رأی گذاشته شده را به کلاسی با

ارزیابی قابلیت داده‌های MSI سنتینل-۲ و OLI لندست ۸ در تفکیک ...

جدول ۲. نسبت‌های باندی اجرashده روی دسته داده‌های لندست ۸ OLI و سنتینل-۲ MSI A. متناظر با نسبت‌های باندی پیشنهادشده از سوی سابینز (۱۹۹۹) درمورد داده‌های لندست ۵ TM بهمنظور آشکار کردن کانی‌های دگرسانی

MSI A ۲	OLI ۸	لندست ۵	سیمای طیفی
۱۱/۱۲	۶/۷	۵/۷	دگرسانی‌های هیدروکسیل‌دار
۴/۲	۴/۲	۳/۱	اکسیدهای آهن (همه نوع)
۴/۱۱	۴/۶	۳/۵	اکسیدهای آهن فروس
۸/۴	۵/۴	۴/۳	پوشش گیاهی
(۸-۴)/(۸+۴)	(۵-۴)/(۵+۴)	(۴-۳)/(۴+۳)	شاخص اختلاف پوشش گیاهی هنجرشده

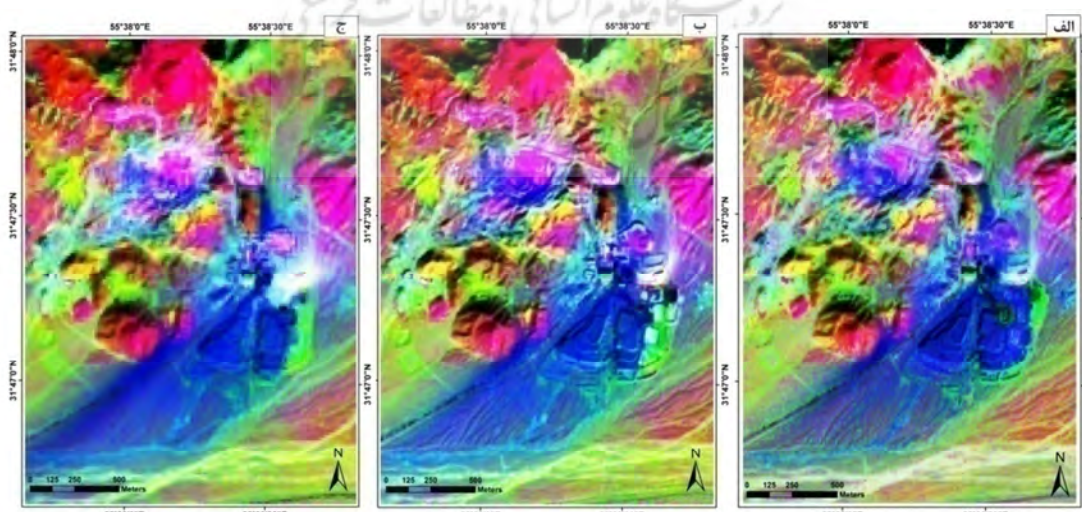
می‌توان گفت داده‌های لندست ۸ واحدهای سنگی را اندکی اغراق‌آمیز بارز کرده‌اند. تصاویر OLI تلفیق شده، با همان کیفیت وضوح داده‌های MSI، پدیده‌ها را از هم تفکیک کرده است اما، با توجه به اینکه ویژگی‌های طیفی خود را از داده‌های OLI به ارت برده‌اند، از لحاظ تعداد پیکسل‌ها برای هر واحد سنگی، به تصویر OLI بسیار نزدیک است. مقایسه تصویر بسط عدم همبستگی MSI با نقشه زمین‌شناسی منطقه (شکل ۱) نشان می‌دهد که این روش توانسته است واحدهای سنگی را به خوبی از هم تفکیک کند و با توجه به بالابودن توان تفکیک مکانی این داده‌ها، در بارز کردن جزئیات بسیار خوب عمل کرده است و همین باعث سخت‌تر شدن مقایسه آن با نقشه کوچک مقیاس زمین‌شناسی می‌شود. اما مشاهدات دقیق صحرايی، نمونه‌برداری و مطالعات

۴- نتایج و بحث

۴-۱- بسط عدم همبستگی

برای افزایش توان تفکیک واحدهای سنگ‌شناختی در منطقه مورد مطالعه، بسط عدم همبستگی روی سه باند ۷، ۲، ۴ و OLI ۲، ۴، ۱۲، که همبستگی کمتری را با هم در نمودار پراکندگی نشان می‌دادند، اجرا شد (شکل ۲).

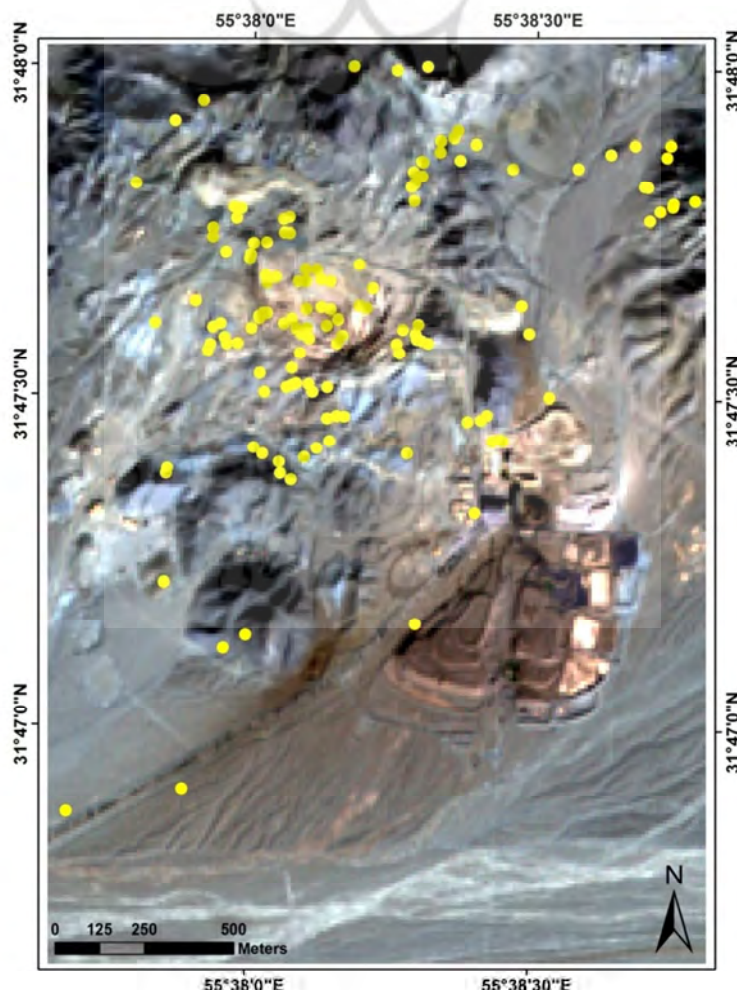
تحلیل چشمی تصاویر حاصل از بسط عدم همبستگی نشان می‌دهد که، در هر سه تصویر، تعداد واحدهای سنگی بارز شده برابر است اما، با اندکی دقت، در می‌یابیم که تعداد پیکسل‌های اختصاص یافته به هر واحد سنگی برابر نیست و ازان جاکه توان تفکیک زمینی داده‌های سنتینل-۲ بیشتر از لندست ۸ است، به واقعیت زمینی نزدیک ترند. بنابراین، با مبنای اراده دادن این داده‌ها،



شکل ۲. تصاویر حاصل از اجرای روش بسط عدم همبستگی: باندهای ۱۲۴۲ MSI (الف); باندهای ۷۴۲ OLI (ب)، تلفیق شده (ب)، باندهای ۷۴۲ OLI (ج) که به خوبی واحدهای سنگ‌شناختی را تفکیک کرده‌اند (ج).

همراه آن نشان‌دهنده دولومیت‌های ماسه‌سنگی همراه با گدازه‌های اسیدی است. در بالای تصویر، دایک دیابازی (میکروگابرو) به رنگ سبز بسیار تیره دیده می‌شود (شکل ۴-الف). رنگ یاسی اطراف معدن بیانگر توفیت‌های بسیار دگرسان شده است که کمی بالاتر از آن نیز باطله‌های معدنی به همین رنگ دیده می‌شود. از آن جاکه نهشته‌های کواترنری عموماً غنی از کانی‌های رسی و سیلیکات‌ها هستند، رنگ نارنجی متمایل به قهوه‌ای به خود گرفته‌اند. نهشته‌های کوهپایه‌ای نقاط پست نیز با آبی کمرنگ نمایان شده و نوار سفید پایین تصویر نهشته‌های عهد حاضر را آشکار می‌کند که حاصل رسوبات آبرفتی و بادرفتی‌اند.

میکروسکوپی، واحدهای سنگ‌شناسی تفکیک شده با این روش در تصویر MSI را تأیید و به تفسیر نقشه کمک کرد (شکل ۳ و ۴). فعالیت‌های معدنی، انباشت تل کانی‌های باطله و فعالیت‌های کارخانه فراوری فسفات باعث شده شکل ظاهری منطقه با آنچه در نقشه می‌بینیم تفاوت داشته باشد. در این تصویر، تپه‌های ریولیتی به رنگ قرمز مایل به صورتی، واحدهای شیلی و آهکی نازک لایه به رنگ صورتی و آهک‌های سیلیس‌دار به رنگ سبز نمایان شده‌اند (شکل ۴-ب). آبی پررنگ نشان‌دهنده واحدهای کواترنری و محل معدن است که غباری از اکسیدهای آهن روی آن را پوشانده است (شکل ۴-ج). سبز کمرنگ و زرد



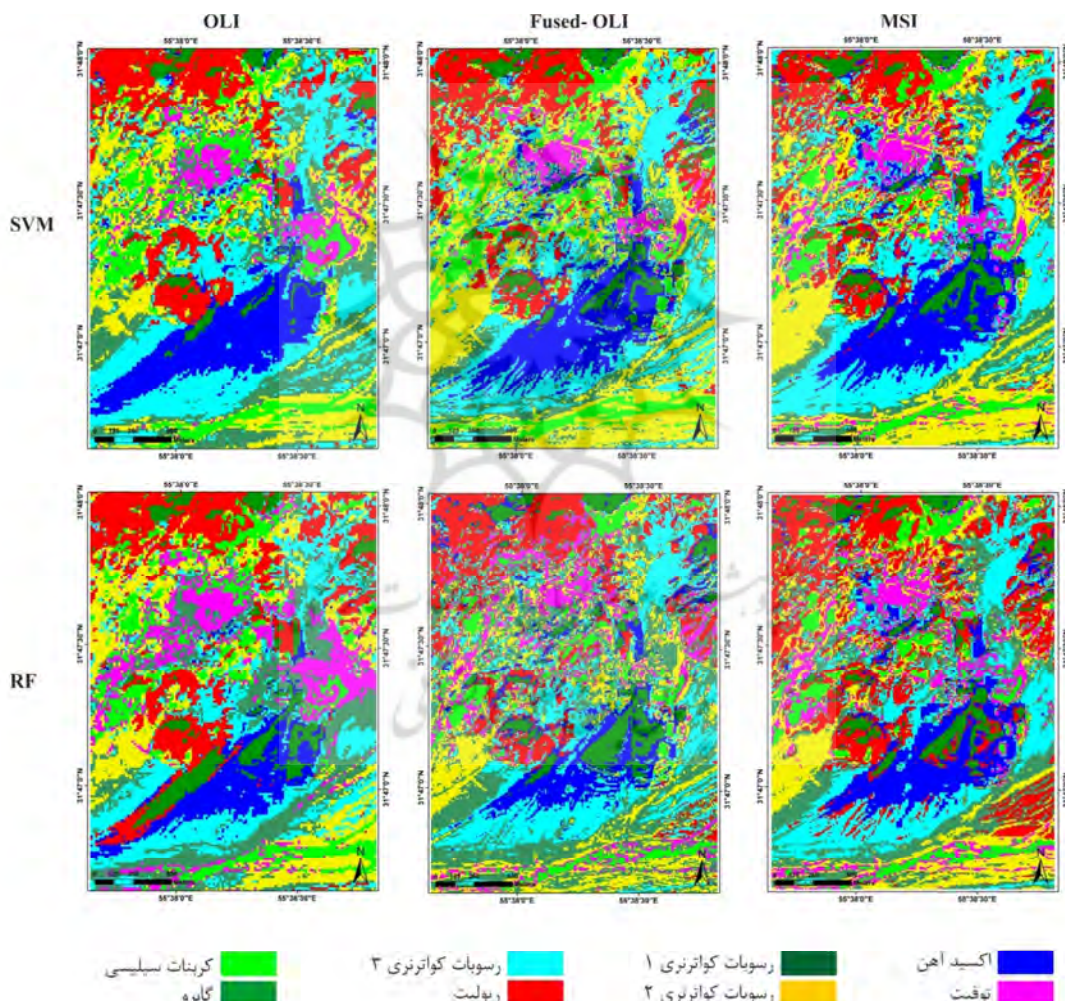
شکل ۳. محل نقاط کنترل شده در بازدید میدانی روی تصویر MSI



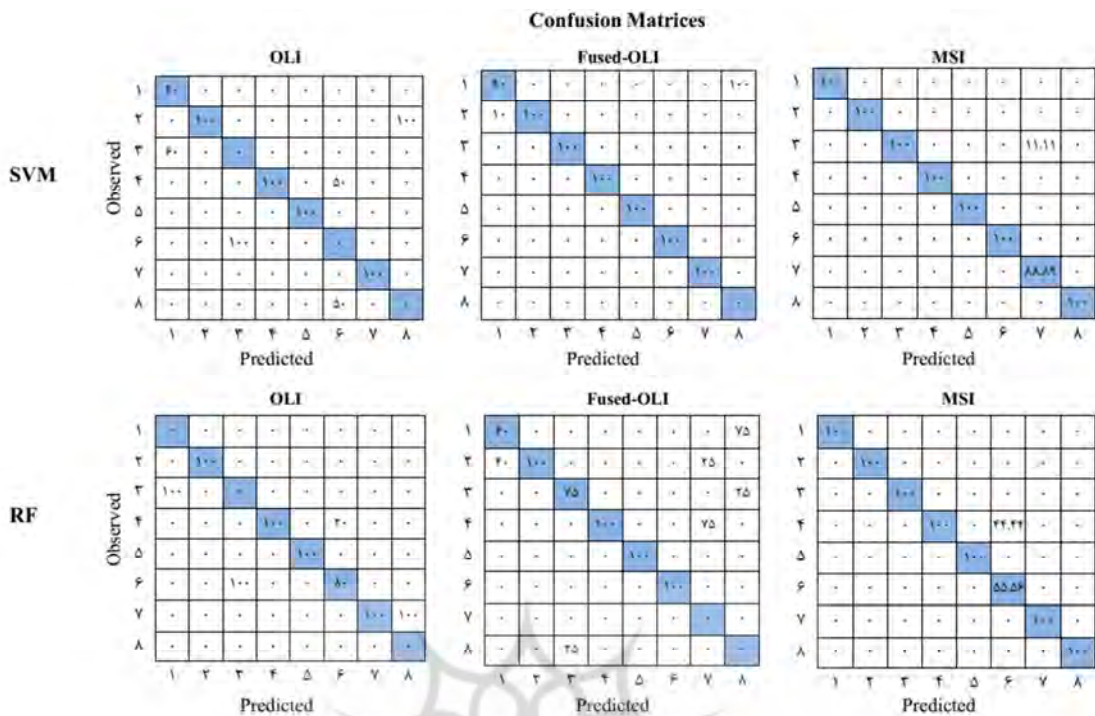
شکل ۴. مرز تماس سه واحد سنگی دولومیت، گابر و دبوریت در شمالی‌ترین بخش منطقه مورد مطالعه (الف)؛ واحدهای ریولیتی، رسوبات کواترنری ۳ و کربنات سیلیسی واقع در شمال شرق معدن روباز آپاتیت-آهن (ب)؛ واحدهای ریولیتی و نمایی از بالای معدن روباز آپاتیت-آهن (ج).

دسته داده MSI ۰.۹۸-٪/۰.۹۸۱۵ در رده‌بندی SVM و ۰.۹۲۶۰-٪/۰.۹۱ در رده‌بندی RF است (جدول ۳). کمترین صحت کلی رده‌بندی نیز مربوط به دسته داده OLI است. همچنین، رده‌بندی SVM صحت کلی و ضریب کاپای بیشتر از رده‌بندی RF در هر سه دسته داده نشان می‌دهد.

۲-۴- رده‌بندی واحدهای سنگی و بررسی صحبت آنها
با اجرای روش‌های رده‌بندی یادگیری ماشین SVM و RF، هریک از دسته داده‌ها به هشت کلاس واحد سنگی رده‌بندی شد (شکل ۵). بررسی نتایج ماتریس آشفتگی محاسبه شده برای هریک از دسته داده‌ها در هر نوبت رده‌بندی (شکل ۶) نشان می‌دهد که بیشترین صحت کلی رده‌بندی- ضریب کاپا مربوط به



شکل ۵. دسته داده‌های طبقه‌بندی شده به روش‌های طبقه‌بندی نظارت شده ماشین بردار پشتیبانی و جنگل تصادفی



شکل ۶. ماتریس‌های آشفتگی محاسبه شده برای تعیین عملکرد روش‌های طبقه‌بندی SVM و RF دسته داده‌ها، با استفاده از نواحی آزمون واقعیت زمینی. کلاس‌ها نشان‌دهنده این مواردند: ۱. اکسید آهن؛ ۲. توفیت؛ ۳. رسوبات کواترنری؛ ۴. رسوبات کواترنری؛ ۵. رسوبات کواترنری؛ ۶. ریولیت؛ ۷. کربنات سیلیسی؛ ۸. گابرو.

جدول ۳. مقایسه عملکرد روش‌های طبقه‌بندی در سه نوع دسته داده OLI، OLI تلفیق شده و MSI

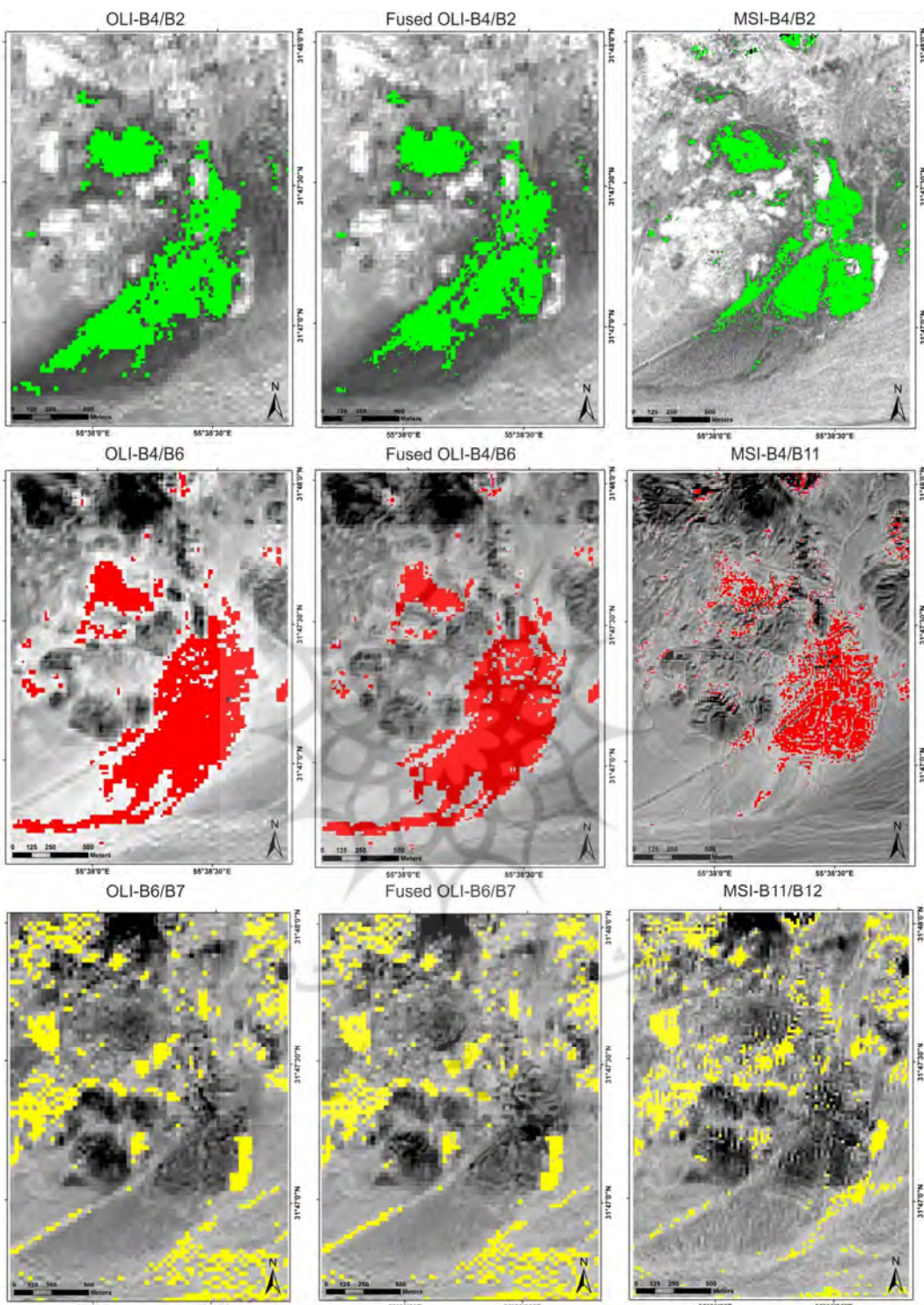
روش طبقه‌بندی		دسته داده		جنبگ تصادفی	ماشین بردار پشتیبانی	صحت کلی (%)	ضریب کاپا	صحت کلی (%)	ضریب کاپا	صحت کلی (%)	ضریب کاپا
OLI	MSI	OLI	MSI								
۰.۴۵	۵۷.۷۰	۰.۵۱	۵۳.۸۵	ضریب کاپا	صحت کلی (%)	۵۳.۸۵	۰.۴۵	۹۲.۶۰	۰.۹۸	۹۸.۱۵	۰.۹۱
۰.۶۹	۹۰.۷۴	۰.۸۹	۷۴.۰۷								
۰.۹۱	۵۵.۵۵	۰.۷۵	۷۵.۰								

موجود در باند قرمز (صورت کسر) کمتر از مقداری پیکسل‌های موجود در باند آبی (مخرج کسر) است اما، در تصاویر تولید شده از طریق دو نسبت باندی B4/SWIR1 و SWIR1/SWIR2 اکسیدهای آهن فروس و کانی‌های هیدروکسیل‌دار با رنگ سفید بارز شده‌اند.

همان‌طور که در تصاویر نسبت باندی (شکل ۷) مشخص است، مساحت نواحی بارز شده در هریک از مجموعه داده‌ها با هم متفاوت است؛ با این حال بررسی عددی (جدول ۴) این تفاوت‌ها نشان می‌دهد که

۴- مقایسه نتایج نسبت باندی و نمودارهای پراکنده‌گی نواحی دگرسان شده گرمابی حاوی اکسیدهای آهن، اکسیدهای آهن فروس و کانی‌های هیدروکسیل‌دار، با استفاده از نسبت‌های باندی که در جدول ۲ ذکر شد، آشکار و با استفاده از ابزار برش چگالی، به ترتیب به رنگ سبز، قرمز و زرد نشان داده شد (شکل ۵). نسبت باندی اکسیدهای آهن تصویری را تولید می‌کند که نواحی مشتمل بر این نوع دگرسانی با رنگ سیاه نشان داده می‌شود. علت این است که مقدار پیکسل‌های

سونگند کریم‌زاده و مجید هاشمی تنگستانی



شکل ۷. تصاویر حاصل از اجرای نسبت‌های باندی روی دادهای OLI، MSI تلفیق شده و OLI. با روش چگالی، پیکسل‌های بارز شده نواحی دگرسان شده حاوی اکسید آهن با رنگ سبز، کانی‌های دارای اکسید آهن فروس با رنگ قرمز و کانی‌های دگرسانی هیدروکسیل‌دار با رنگ زرد نشان داده شده است.

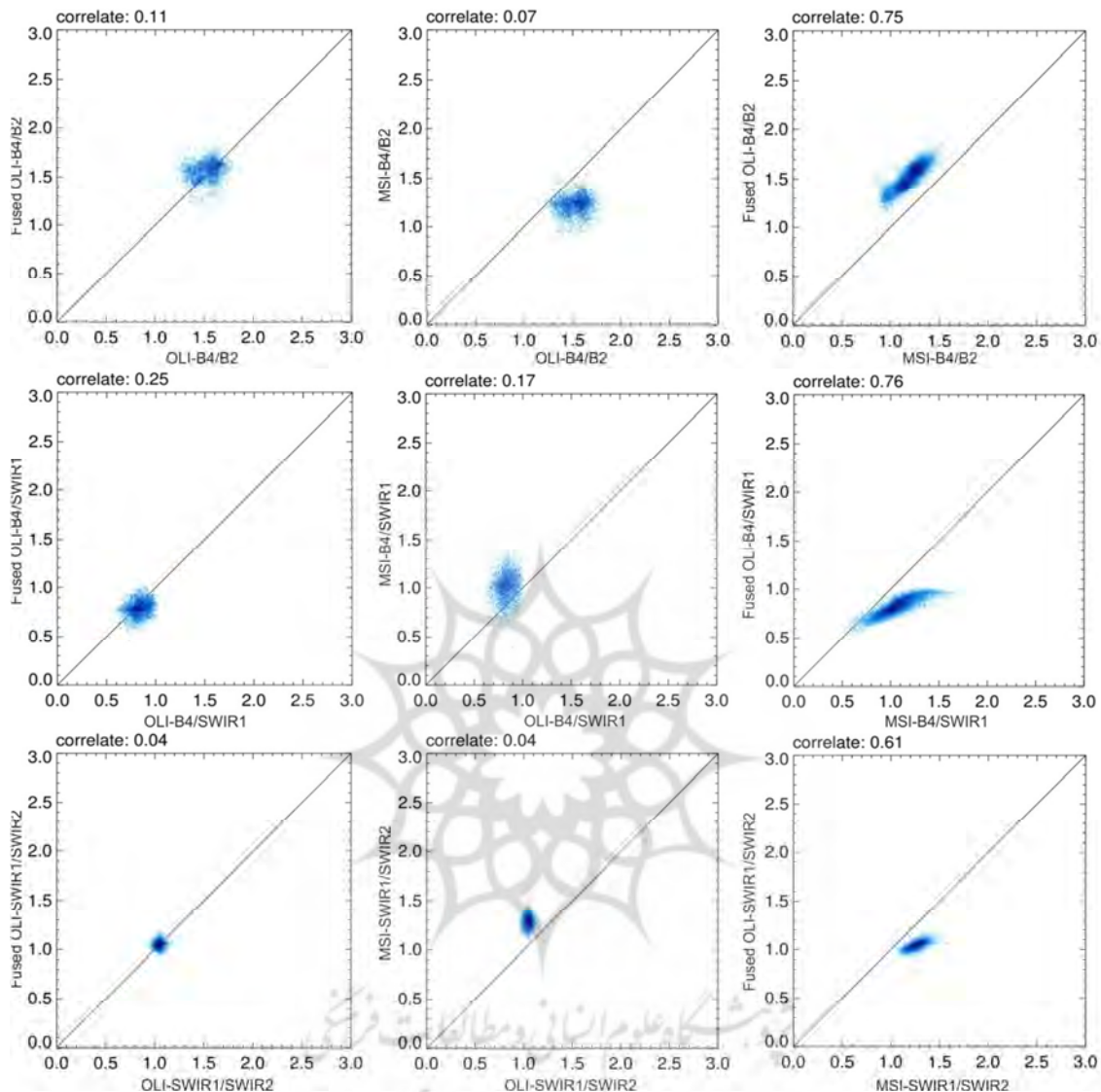
جدول ۴. مساحت (هکتار) نواحی بارزشده با هریک از نسبت‌های باندی در تصاویر OLI، OLI تلفیق شده و MSI

نوع سنجنده	B4/B2	B4/SWIR1	SWIR1 / SWIR2
-OLI_پانزدهمتری	۶۵/۸۳۵	۸۱/۸۱	۶۰/۷۷۲۵
OLI_تلفیق شده_دهمتری	۵۸/۸	۷۷/۴۳	۶۰/۷۱
MSI_دهمتری	۴۷/۵۷	۳۸/۲۹	۶۲/۱۶

تلفیق شده بازمی‌گردد. مقادیر ضریب همبستگی این باندها، در هر سه نسبت باندی، برای کل صحنه تصویر ۰.۷۶ تا ۰.۶۱ را نشان می‌دهد. پس از آن، نسبت‌های باندی تولیدشده با داده‌های OLI با نسبت باندی داده‌های OLI تلفیق شده بیشترین همبستگی (۰.۰۴۰ تا ۰.۲۵) را نشان می‌دهد و در نهایت، نسبت‌های باندی تولیدشده با داده‌های MSI کمترین همبستگی (۰.۱۷ تا ۰.۰۴) را با نسبت‌های باندی تولیدشده با داده‌های OLI بیان می‌کند. با توجه به یکی‌بودن ویژگی‌های تفکیک مکانی و رادیومتریکی داده‌های MSI و OLI تلفیق شده، داشتن ضریب همبستگی بالا بین باندهای نسبت‌گیری شده بدینهی است. اما به دلیل تفاوت‌هایی که در ویژگی‌های ساختاری سنجنده‌ها وجود دارد، یعنی تفاوت در مقادیر بهره^۱ و انحراف^۲ و در نتیجه، اعداد روشنایی متفاوت حاصل از تصحیح جوئی یکسان، داده‌های MSI و OLI کمترین همبستگی را نشان می‌دهند. یکی از نکات جالب توجه، در این نمودارهای پراکندگی، همبستگی بالا بین باندهای نسبت B4/SWIR-1 است که در هر سه دسته داده مشخص است. دلیل این همبستگی بالا ممکن است آن باشد که نسبت باندی مورد اشاره پیکسل‌های بیشتری را در صحنه تصویر به خود اختصاص داده است. به طور کلی، ضرایب همبستگی بین نسبت‌های باندی این سه دسته داده بیشتر از ۰.۵ و در گستره مورد قبولی است؛ بنابراین، استفاده از داده‌های لندست ۸ و تلفیق آنها با داده‌های سنتینل-۲، در تاریخ‌هایی که داده‌های سنتینل-۲ در دسترس نیست، برای مطالعات زمین‌شناسی مطلوب و کارآمد است.

1. Gain
2. Offset

بیشترین مساحت زون اکسید آهن به تصویر OLI و کمترین آن به تصویر MSI اختصاص دارد. در تصاویر نسبت باندی B4/SWIR1 نیز، بیشترین مساحت به تصویر OLI و کمترین آن به تصویر MSI بازمی‌گردد. اما در تصاویر نسبت باندی 2 SWIR1/SWIR2، تصویر MSI بر عکس عمل کرده و بیشترین مساحت دگرسانی‌های حاوی کانی‌های هیدروکسیل را به خود اختصاص داده است. تصویر OLI در جایگاه دوم و تصویر OLI تلفیق شده، با کمترین مساحت، در جایگاه سوم قرار گرفته است. آنچه در این مقایسه واضح است این است که تصاویر داده‌های OLI، احتمالاً به دلیل توان تفکیک مکانی پایین‌تر و اختلاط طیفی بیشتر در پیکسل‌های خود، مساحت زون‌های دگرسانی را به صورت اغراق‌آمیز و غیرواقعی تر نشان می‌دهند. داده‌های OLI تلفیق شده نیز رفتاری مابین داده‌های MSI و OLI. اما بسیار نزدیک به داده‌های OLI، دارند که دور از انتظار هم نیست. یکی از دلایلی که داده‌های MSI مساحت کمتری از زون‌های دگرسانی را نشان دادند ممکن است این باشد که پهنه‌ای باندهای این سنجنده کمی کمتر از پهنه‌ای باندهای سنجنده OLI است و اختلاف جزئی در مقادیر مرکز باندها باعث می‌شود که امضای طیفی برخی پدیده‌ها از سوی سنجنده شناسایی نشود. با این حال، با توجه به توان تفکیک مکانی بالاتر این داده‌ها آمیختگی طیفی کمتری خواهند داشت و به واقعیت زمینی نزدیک‌ترند. با تفسیر نتایج نمودارهای پراکندگی مقادیر نسبت‌های باندی تولیدشده (شکل ۸)، مقایسه رفتارهای طیفی این سه مجموعه داده نیز کامل می‌شود. این نمودارها نشان می‌دهند که بیشترین همبستگی بین باندها به داده‌های OLI و MSI و



شکل ۸. نمودارهای پراکنده نسبت‌های باندی تولید شده با مجموعه داده‌های OLI و MSI تلفیق شده برای آشکارسازی نواحی دگرسان شده در منطقه اسفوردی

۵- نتیجه‌گیری

مطابقت داشت. مقایسه این تصاویر نشان داد که داده‌های OLI تلفیق شده، از لحاظ مکانی، به اندازه داده‌های MSI وضوح پدیده‌ها را افزایش می‌دهد اما تعداد پیکسل‌هایی که به هر واحد سنگی اختصاص داده به تصویر OLI نزدیک‌تر است. برای مقایسه آماری این سه دسته داده، رده‌بندی ماشین بردار پشتیبان و جنگل تصادفی اجرا شد؛ بیشترین صحت کلی رده‌بندی

در این پژوهش، قابلیت داده‌های MSI و OLI تلفیق شده در تفکیک واحدهای سنگی و نواحی دگرسان شده گرمابی، در محدوده کانسار آپاتیت- آهن اسفوردی، بررسی شد. با روش بسط عدم همبستگی، واحدهای سنگی منطقه مورد مطالعه در هر سه دسته داده به خوبی تفکیک شدند که با مشاهدات میدانی، مطالعات میکروسکوپی و نقشه زمین‌شناسی منطقه

در این پژوهش، تشکر و قدردانی کنند. همچنین، از دکتر هارالد فنده وقف از دپارتمان تحلیل سیستم‌های زمین، مؤسسه ITC دانشگاه توئنته^۱ هلند، بهدلیل کنترل صحت اجرای بخشی از مقاله تشکر می‌کنند.

۷- منابع

- سازمان زمین‌شناسی کشور، برگه شماره ۷۱۵۳، نقشهٔ ۱:۱۰۰،۰۰۰.
صالحی، ط.، هاشمی تنگستانی، م.، ۱۳۹۷، ارزیابی داده‌های سنجندهٔ تصویربردار چندطیفی ماهوارهٔ سنتینل-۲ در بارزسازی زون‌های دگرسان کانسارهای مس پورفیری، مطالعهٔ موردي: شمال شرقی اصفهان، اولین همایش ملی انجمن سنجش از دور زمین‌شناسخی ایران، ۲۱-۲۳ آذر ۱۳۹۷، دانشگاه تحصیلات تکمیلی صنعتی و فناوری پیشرفتۀ کرمان.
کابلیزاده، م.، رنگزن، ک.، محمدی، ش.، ۱۳۹۷، کاربرد تلفیق تصاویر ماهواره‌ای لندست ۸ و سنتینل ۲ در پایش محیطی، سنجش از دور و سامانهٔ اطلاعات جغرافیایی در منابع طبیعی، سال نهم، شمارهٔ ۳، صص. ۵۳-۷۱.
هاشمی تنگستانی، م.، شایگان‌پور، س.، ۱۳۹۸، تحلیل طیفی و آشکارسازی واحدهای سنگی کمپلکس سوریان، شمال شرق فارس با استفاده از داده‌های تصاویر ماهواره‌ای استر و سنتینل-۲، سنجش از دور و GIS ایران، سال یازدهم، شمارهٔ ۲، صص. ۶۳-۷۸.
Bahrami, Y., Hassani, H. & Maghsoudi, A., 2018, Investigating the Capabilities of Multispectral Remote Sensors Data to Map Alteration Zones in the Abhar Area, NW Iran, Geosystem Engineering, 24(1), PP. 18-30, Retrieved from <https://doi.org/10.1080/12269328.2018.1557083>.

1. Twente

و ضریب کاپا مربوط به روش رده‌بندی SVM و داده‌های MSI و پس از آن، داده‌های OLI تلفیق شده است. همچنین، از نسبت‌های باندی متناظر با آنچه برای داده‌های لندست ۵ تعریف شده است استفاده شد و دگرسانی‌های حاوی همه انواع اکسیدهای آهن با نسبت باندی متناظر با TM ۳/۱، اکسید آهن فروس با نسبت باندی متناظر با TM ۳/۵ و کانی‌های هیدروکسیل دار با نسبت باندی متناظر با TM ۵/۷ بارز شد. مقایسه مساحت نواحی دگرسانی آشکارشده، در تصاویر نسبت باندی حاصل از این سه دسته داده، نشان داد که داده‌های MSI مساحت کمتر و داده‌های OLI مساحت بیشتری از پیکسل‌های بارزشده را نشان می‌دهد زیرا داده‌های OLI، با توان تفکیک مکانی پایین‌تر، آمیختگی طیفی بیشتری دارند و اندازهٔ پدیده‌ها را اغراق‌آمیزتر نشان می‌دهند. داده‌های OLI تلفیق شده نیز، با مساحتی بین این دو داده و نزدیک به داده‌های OLI، واحدهای دگرسانی را آشکار کرده است. الگوی نمودار پراکندگی باندی‌های نسبت‌گیری شده نیز نشان داد که داده‌های MSI و OLI تلفیق شده بیشترین همبستگی را با هم دارند و پس از آن، باندی‌های نسبت‌گیری شده OLI و OLI تلفیق شده همبستگی خوبی را نشان می‌دهند.

این مطالعه نشان داد که داده‌های MSI، بهدلیل توان تفکیک مکانی بالاتر، جزئیات بیشتری از سطح زمین را نشان می‌دهد و در مطالعات زمین‌شناسی و تهیۀ نقشهٔ سنج‌شناسی و دگرسانی، مطلوب است. همچنین، با استفاده از داده‌های OLI تلفیق شده، می‌توان به نقشه‌ای دست یافت که کیفیت آن به نقشهٔ حاصل از MSI نزدیک است و این برای تهیۀ نقشه‌های کانی‌شناسی در مقیاس‌های قاره‌ای، در ادامهٔ داده‌های MSI، بسیار کارآمد خواهد بود.

۶- سپاسگزاری

نویسنده‌گان بر خود لازم می‌دانند از مجتمع فسفات اسفوردی، بهدلیل فراهم‌آوردن تمهیدات بازدید صحرایی

- Breiman, L., 2001, **Random Forests**, Mach. Learn, 45, PP. 5-32.
- De Boissieu, F., Sevin, B., Cudahy, T., Mangeas, M., Chevrel, S., Ong, C., Rodger, A., Maurizot, P., Laukamp, C. & Lau, I., 2018, **Regolith-Geology Mapping with Support Vector Machine: A Case Study over Weathered Ni-Bearing Peridotites, New Caledonia**, Int. J. Appl. Earth Obs. Geoinf., 64, PP. 377-385.
- de Kok, R., Węzyk, P., Papiez, M. & Migo, L., 2017, **Applications of Sentinel-2 Data for Agriculture and Forest Monitoring Using the Absolute Difference (ZABUD) Index Derived from the AgroEye Software (ESA)**, Proc. SPIE 10421, Remote Sensing for Agriculture, Ecosystems, and Hydrology XIX, 104211A (2 November 2017, Event: SPIE Remote Sensing, 2017, Warsaw, Poland).
- Fal, S., Maanan, M., Baidder, L. & Rhinane, H., 2019, **The Contribution of Sentinel-2 Satellite Images for Geological Mapping in the South of Tafilalet Basin (Eastern Anti-Atlas, Morocco)**, The International Archives of the Photogrammetry, Remote Sensing and Spatial Information Sciences, Volume XLII-4/W12, 2019 5th International Conference on Geoinformation Science – Geo Advances 2018, 10–11 October 2018, Casablanca, Morocco.
- Forouzan, M. & Arfania, R., 2018, **Integration of the Bands of ASTER, OLI, MSI Remote Sensing Sensors for Detection of Hydrothermal Alterations in Southwestern Area of the Ardestan, Isfahan Province, Central Iran**, The Egyptian Journal of Remote Sensing and Space Sciences, In press, corrected proof, Available online 10 December 2018.
- Ge, W., Cheng, Q., Jing, L., Armenakis, C. & Ding, H., 2018b, **Lithological Discrimination Using ASTER and Sentinel-2A in the Shibanjing Ophiolite Complex of Beishan Orogenic in Inner Mongolia, China**, Advances in Space Research., 62, PP. 1702-1716.
- Ge, W., Cheng, Q., Tang, Y., Jing, L. & Gao, C., 2018a, **Lithological Classification Using Sentinel-2A Data in the Shibanjing Ophiolite Complex in Inner Mongolia, China**, Remote Sens., 10(4), P. 638.
- Iurist, N., Stătescu, F. & Lateş, I., 2016, **Analysis of Land Cover and Land Use Changes Using Sentinel-2 Images**, PESD, 10(2), PP. 161-172.
- Jami, M., Dunlop, A.C. & Cohen, D.R., 2007, **Fluid Inclusion and Stable Isotope Study of the Esfordi Apatite-Magnetite Deposit, Central Iran**, Economic Geology, 102, PP. 1111-1128.
- Kadavi, P.R & Lee, C.W., 2018, **Land Cover Classification Analysis of Volcanic Island in Aleutian Arc Using an Artificial Neural Network (ANN) and a Support Vector Machine (SVM) from Landsat Imagery**, Geosciences Journal, 22(4), PP. 653-665.
- Karaoui, I., Abdelghani, B., Arioua, A., Hssaisoune, M., Sabri, E.M., Ait Ouhamchich, K., Elhamdouni, D., El Amrani, I. & Wafae, N., 2019, **Evaluating the Potential of Sentinel-2 Satellite Images for Water Quality Characterization of Artificial Reservoirs: The Bin El Ouidane Reservoir Case Study (Morocco)**, Meteorology Hydrology and Water Management, 7(1).
- Lefebvre, A., Sannier, C. & Corpetti, T., 2016, **Monitoring Urban Areas with Sentinel-2A Data: Application to the Update of the Copernicus High Resolution Layer Imperviousness Degree**, Remote Sensing, 8(606).
- Lowe, B. & Kulkarni, A., 2015, **Multispectral Image Analysis Using Random Forest**, International Journal on Soft Computing, 6, PP. 1-14.
- Sabins, F.F., 1999, **Remote Sensing for Mineral Exploration**, Ore Geol. Rev., 14, PP. 157-183.
- Salehi, S., Mielke, C., Brogaard Pedersen, C. & Dalsenni Olsen, S., 2019, **Comparison of ASTER and Sentinel-2 Spaceborne Datasets for Geological Mapping: A Case**

- Study from North-East Greenland,**
Geological Survey of Denmark and
Greenland Bulletin, 43.
- Talukdar, S., Singha, P., Mahato, S., Shahfahad,
Pal, S., Liou, Y.A. & Rahman, A., 2020,
**Land-Use Land-Cover Classification by
Machine Learning Classifiers for Satellite
Observations-A Review**, Remote Sens., 12,
P. 1135.
- van der Meer, F.D., van der Werff, H.M.A. &
van Ruitenbeek, F.J.A., 2014, **Potential of
ESA's Sentinel-2 for Geological
Applications**, Remote Sens. Environ., 148,
PP. 124-133.
- van der Werff, H.M.A. & van der Meer, F.D.,
2015, **Sentinel-2 for Mapping Iron
Absorption Feature Parameters**, Remote
Sens., 7, PP. 12635-12653.
- van der Werff, H.M.A. & van der Meer, F.D.,
2016, **Sentinel-2A MSI and Landsat 8
OLI Provide Data Continuity for
Geological Remote Sensing**, Remote Sens.,
8, P. 883.
- Vapnik, V.N., 1995, **The Nature
of Statistical Learning Theory**, 2nd
edition, Springer-Verlag, New York.
- Wahi, M., Taj-Eddine, K. & Laftouhi, N., 2013,
**ASTER VNIR & SWIR Band
Enhancement for Lithological Mapping –
A Case Study of the Azegour Area
(Western High Atlas, Morocco)**, Journal
of Environment and Earth Science., 3, PP.
33-45.
- Wang, Q., Blackburn, G.A., Onojeghuo, A.O.,
Dash, J., Zhou, L., Zhang, Y. & Atkinson,
P.M., 2017, **Fusion of Landsat 8 OLI and
Sentinel-2 MSI Data**, IEEE Transactions on
Geoscience and Remote Sensing, 55, P. 7.
- Yang, X., 2011, **Parameterizing Support
Vector Machines for Land Cover
Classification**, Photogramm. Eng. Remote
Sens., 77, PP. 27-38.



پژوهشگاه علوم انسانی و مطالعات فرهنگی
پرستال جامع علوم انسانی



سنجش از دور

، ایران GIS



سنجش از دور و GIS ایران
Vol.13, No. 3, Autumn 2021

1-18

The Capability of Sentinel-2 MSI and Landsat-8 OLI Data for Discrimination of Lithological Units and Alteration Minerals of Esfordi Phosphate Deposit Area, Central Iran

Karimzadeh S.*¹ and Hashemi Tangestani M.²

1. Ph.D. Student in Dep. of Earth Sciences, Faculty of Sciences, Shiraz University

2. Prof. of Dep. of Earth Sciences, Faculty of Sciences, Shiraz University

Abstract

Twin Sentinel-2 MSI sensors are spatially like the Landsat-8 OLI super spectral instrument, aiming to additional data continuity for land surface monitoring were launched by European Space Agency. In this paper, the potential of these data was evaluated for discrimination of lithological units and alterations in the Esfordi phosphate deposit area and was compared with OLI and fused OLI data. Decorrelation stretch method was used for enhancing the lithological units of the study area, and all of the 3 datasets acceptably discriminated the rock units. Among these, MSI data could produce the lithological map with high resolution and highest level of reality owing to its high spatial resolution. For statistical comparison, Support Vector Machine and Random Forest methods were applied on datasets for classification of the lithological units and their accuracy was assessed using confusion matrices. Furthermore, the corresponding band ratios to which were defined for Landsat-5 TM, were applied on datasets for detecting the altered areas. Then the areas of each highlighted alteration zones were estimated for comparison. Furthermore, the scatterplots of band ratio images were prepared. MSI dataset revealed the highest overall accuracy and Kappa coefficient in Support Vector Machine and Random Forest classification. Also, the results of band ratioing showed that MSI and fused OLI data have the most correlation and similarities. This study demonstrated that MSI data are more optimal than OLI data for lithological and alteration mapping. Also, using fused OLI data in dates which there is no MSI data acquisition or for producing seamless geological maps in continental scale besides to MSI data, is efficient.

Keywords: Sentinel-2 and Landsat-8 datasets, Esfordi deposit, Decorrelation stretch, Machine learning algorithms, Band ratio.

* Correspondence Address: Dep. of Earth Science, Faculty of Science, Adabiat Cross, Shiraz.
Email: karimzadeh-shu@shirazu.ac.ir; Karimzadeh208@gmail.com